

Gyvulininkystë *Animal Husbandry* Животноводство

Kai kuriø technologiniø faktoriø átaka sausøjø iðrûgø tirpalø putø susidarymui bei jø stabilumui

**Sigita Urbienë,
Dovilë Levickienë**

*Lietuvos pemës ūkio universitetas,
Studentø g. 11,
LT-53356 Akademija, Kaunas,
el. paštas Urbienë@tech.lzua.lt*

Viena svarbiø sausøjø iðrûgø milteliø funkciniø savybiø yra putø susidarymas bei jø stabilumas. Ði savybë svarbi norint ávertinti iðrûgø miltelio, kaip priedo gaminant ávairius maisto produktus, tikslingà panaudojimà. Darbe iðtirta iðrûgø milteliø tirpalø iðsplakimo laipsnio ir putø stabilumo priklausomybë nuo sausøjø medþiaigø kiekiø tirpale. Nustatyta, kad didéjant sausøjø medþiaigø (ir balytmø) kiekiui tirpale, didéja putø iðsplakimo laipsnis ir jø stabilumas. Padidéjus sausøjø medþiaigø kiekiui tirpale nuo 5 iki 30% putø iðsplakimo laipsnis padidéja iki 6–7 kartø.

Iðtirta, kad tirpalø pasterizacijos temperatûra neigiamai veikia putø susidarymà bei jø stabilumà. Geriausiai putos iðsplaka esant maþiausiai pasterizacijos temperatûrai, t. y. 63°C ir pailginus iðlaikymo trukmæiki 30 min. Analogiðkos priklausomybës gautos ir tiriant putø stabilumà.

Tyrimø rezultatai apraðyti regresinémis lygtimi, surastos putø stabilumo greièio kitimo priklausomybës. Nustatyti momentai kintant technologiniams veiksniams, kada putø suirimo greitis yra didþiausias.

Raktaþodþiai: funkciniës savybës, putø susidarymas, putø stabilumas, sausøjø iðrûgø tirpalai

ÁVADAS

Maisto produktø gamyboje daþnai naudojami ávairùs priedai, kurie padidina gaminio biologinæ vertæ ar pakieèia jo technologines savybes (klampá, gelio formavimà, vandens suriðimà ar pan.). Vieniems produktams yra svarbu geros emulsijos gavimas, kitiems vandens absorbcija ar putø susidarymas. Tokia savybë, kaip putø sudarymas ir jø stabilumo uþtikrinimas, yra labai svarbi gaminant ávairius konditerijos produktus (kremus, zefyrà, purø ðokoladà ir kt.).

Putø susidarymà ir jø stabilumà galima reguliuoti parankant ávairius balytminius priedus, kurie gali bûti augalinës ir gyvulinës kilmës [2, 18, 24, 25]. Paprastai naudojami gyvulinës kilmës priedai yra pieno ir kiauðinio balymai [5, 12]. Yra þinoma [5], kad kiauðinio balymo putos yra stabilesnës, palyginti su pieno balytmø, t. y. lieso pieno milteliø sudaromomis putomis. Taèiau produktø, kuðiems svarbus putø susidarymas ir jø stabilumas, gamyboje yra naudojami ne lieso pieno milteliai, t. y. pieno balytmø visuma, bet iðrûgø balymai [19]. Bûtent ðie balymai pasiþymi ne tik unikaliomis biologiðkai vertingomis,

bet ir funkcinémis savybëmis. Net ir nedidelis jø priedas galiryðkiai pakeisti produkto technologines savybes: klampá vandens absorbcijà, putø susidarymà ir kt. [6, 9, 10, 23]. Yra þinoma, kad putø susidarymas priklauso nuo balytmø savybiø, nuo jø aktyviø grupiø. Pieno balytmø sudëtyje tokios aktyvios grupës yra –SH ir S-S [9, 10]. Ðiø grupiø iðrûgø balytumuose yra daugiau negu pagrindiniame pieno balytyme kazeine, todël iðrûgø balytmai ir pasiþymi kur kas efektyvesnémis funkcinémis savybëmis. Jeigu iðrûgø balytmø koncentrate (izolate) balytmø yra 90–95%, tai putø susidarymas ir jø stabilumas yra gerokai didesnis negu kiauðinio balymo [1].

Svarbu, kad putø susidarymas ir jø stabilumas priklauso ne tik nuo balytmø aktyviø grupiø, bet ir nuo kitø faktoriø. Nustatyta [11], kad hidrolizavus balytymus jø putø sudarymas priklauso nuo tirpalø joninës jégos, nuo balytmø koncentrate esanèiø riebalø. Nustatyta [8], kad jeigu iðrûgø balytmø koncentrate yra maþesnis riebalø kiekis, maþiau Ca, tai putø susidarymo galimybës yra maþesnës, taip pat greitesnis jø suirimas. NaCl priedas taip pat sumaþina putø susidarymà bei jø stabilumà [20].

Panaudojus iðrûgø baltymø iðskyrimui membraninæ technologijà atsirado galimybë gauti iðrûgø baltymø koncentratà (IBK – UF), kuriame, priklausomai nuo naujojamos technologijos ypatumø, iðrûgø baltymø kiekis gali bûti nuo 40 iki 75% [14, 22]. Die koncentratai yra plaëiai naudojami produktø ávairioms savybëms pagerinti. Todël nemaþai mokslininkø darbø skirta ðiø koncentratø funkciniø savybiø tyrimams.

Yra įinoma, kad IBK – UF funkcinėms savybėms, taip pat putø susidarymo efektyvumui turi áakos tokie technologiniai faktoriai, kaip sausojo medþiagø kiekis, pH verté [3, 15, 26]. Ypaè didelæ áakà putø susidarymui turi temperatûra [16]. Yra įinoma, kad terminio apdrojimo metu, esant 60–90°C temperatûrai, vyksta konformacinių iðrûgø baltymø pokyèiai, kurie turi áakos visoms funkcinėms savybëms, taip pat putø susidarymui bei jø stabilumui [4, 13, 21]. Įinomi tyrimai, kuriø tikslas – nustatyti optimalø pH dydá, uþtikrinantáaukøtà putø iðsiplakimo laipsná ir jø stabilumà.

Lietuvos maisto institute gana iðsamiai yra iðtirtas iðrûgø balytmø koncentratas gautas ultrafiltracijos bûdu, kuriame balytmø yra 50–55%, laktozës apie 30–35%. Iðtirtos putø susidarymo savybës priklausomai nuo pH dydþio bei kitø technologiniø faktoriø [28]. Putos geriausiai susidaro esant pH vertei 5,0. Nustatyta, kad putø susidarymui turi áakos ir sausøjø meðbiagø kiekis tirpale.

Taip pat buvo iðtirtos pieno miðinio, á kurá pridëta iki 3% sauso iðrûgø balytmø koncentrato, gauto ultrafiltracijos bûdu, funkcinës savybës. Gauta, kad iðrûgø balytmø putø susidarymas bei jø stabilumas miðinyje kinta pagal tas paëias tendencijas, kaip ir vandeniniuose tirpaluose [29].

Nepaisant to, kad gryni iðrûgø baltymai, ypaè iðrûgø baltymø koncentratas (IBK – UF) yra tinkamiausi priedai, pagerinantys produktø funkcinës savybes, yra naujojami ir kiti priedai.

Produktø iðsiplakimo laipsniui padidinti gali bûti nau-dojamì pieno milteliai [27]. Jø priedas padidina klampá ir pagerina putø susidarymà bei jø stabilumà.

Gana dažnai maisto produktø technologijose naujojama sudëtinë dalis yra iðrûgø milteliai. Jie naudojami konditerijoje, ledø, deðrø, duonos ir kt. maisto produktø gamyboje. Iðrûgø milteliø priedas padidina produktø biologinæ vertæ ir taip pat gali norima kryptimi pakeisti produkto technologines savybes – padidinti klampá, vandens absorbcijà, pagerinti gelio arba putø susidarymà.

Nepaisant to, kad iðrûgø milteliai naudojami daugelio maisto produktø gamyboje, jø funkcinës savybës praktikai neiðtirtos. Nëra moksliniø darbø, árodanèiø, kaip iðrûgø milteliø priedas gali pakeisti technologines produkto savybes, kaip ðias savybes veikia terminis apdorojimas, terpës pH ir kiti faktoriai.

Tokios funkcinės savybės, kaip putø susidarymas ar jø stabilumas, priklauso nuo iðrûgø milteliø sudëties, ypaè nuo balytymø kiekio. Iðrûgø milteliuose daugiausiai yra

laktozës (75–76%), balytmø nära daug (11–12%). Taèiau iðrûgø balytmai dël unikaliø savybiø gali pagerinti produktø iðsiplakimo laipsná padidinti putø stabilumà.

Kad bûtø galima koreguoti produkto savybes (putø susidarymà ir kt.), svarbu þinoti iðrûgø milteliø funkcniø savybiø pokyèius vandeniniuose tirpaluose.

Ðio darbo tikslas buvo iðtirti iðrûgø milteliø, gaminamø Lietuvos pieno perdirbimo ámonëse, putø sudarymo galimybes ir jø stabilumà kintant tokiems technologiniams faktoriams, kaip sausojø medþiagø kiekis tirpale bei tirpalø apdorojimo temperatûra.

TYRIMØ OBJEKTAS IR METODAI

Tyrimo objektas buvo sausosios iðrûgos, pagamintos dviejose Lietuvos fermentiniø sûriø gamybos ámonëse. Vie-
noje ámonëje fermentiniø sûriø gamyboje buvo naudo-
jamos nitratinës druskos, o kitoje sûriai gaminami be
nitratiniø druskø priedo. Todël sausojø iðrûgø sudëtis
buvo skirtinga (1 lentelë).

Tose iðrûgose, kurioje sûriø gamyboje buvo naudojamos nitratinës druskos, rasta nemâbai (327 mg/kg) nitratø.

Darbe tyréme sausøjø iðrûgø tirpalø putø susidary-mà ir jø stabilumo kitimà laikant.

Putø iðlaikymui buvo panaudotas laboratorinis homogenizatorius MPW-302. Iðrûgø tirpalai, kuriø tûris 50 ml, buvo veikiami 5 min. Putø susidarymas buvo nustatomas ávertinant pastovaus tûrio tirpalø iðsplakimo laipsná Susidariusiø putø stabilumas buvo stebimas 60 min. Ðios funkcinës savybës pokyèiai buvo iðtirti kintant technologiniams faktoriams: sausøjø medpiagø kiekiui tirpale, tirpalø terminiam apdorojimui ir iðlaikymo laikui esant pastoviai temperatûrai.

Baltymø kiekis buvo nustatytas Kjeldalio metodu [17], drëgmës kiekis – iðdþiovinimo iki pastovaus svorio metodu [7], laktozës kiekis – poliarimetriniu metodu [7], nitratø ir nitritø kiekis – pagal LST 1264 : 92 ir IDF standard 118 : 1984 * pateiktas metodikas, riebalø kiekis – pagal þinomus metodus [7]. Putø susidarymas ir stabiliumas buvo nustatomas pagal Lietuvos maisto institute naudojamà metodikà [30].

Tyrimai atlikti LPPU ūlumos ir biotechnologijos inžinerijos katedroje, Žemės ūkio produktų kokybės tyrimo laboratorijoje ir KTU maisto institute.

1 lentelė. Iðrûgø milteliaø sudëtis		
Rodiklis	Iðrûgø milteliai be nitratø	Iðrûgø milteliai su nitratais
Riebalø %	1,5	1,1
Drëgmës %	4,0	4,0
Balymø %	11,0	12,0
Laktozës %	75,0	76,0
Nirratø mg/kg	-	327
Nitritø mg/kg	-	~1
Rûgðitungumas °T	< 20	< 20

Rezultatø aptarime pristatomi gautø duomenø vi-durkiai, atlikus 4–5 kiekvienos bandymø serijos pa-kartojimus. Rezultatø apdorojimui taikëme matema-tinës statistikos metodus.

TYRIMØ REZULTATAI IR JØ APTARIMAS

Gana svarbi iðrûgo balytmø funkcinë savybë yra pu-tø sudarymo galimybë bei jø stabilumas.

* LST 1264 – 92. Pienas. Nitratø ir nitritø nu-statymo metodai

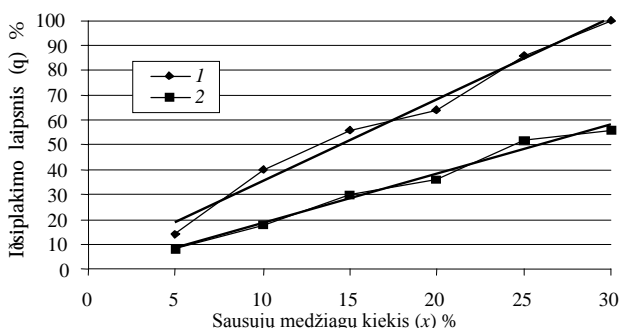
* IDF Standart 118 : 1984. Dried milk. Determination of nitrate content screening method using cadmium reduction

Ðios savybës gali nulemti sausøjø iðrûgo panau-dojimo tikslingumà daugelyje produktø. Sausosiose iðrûgose balytmø kiekis yra 11–12%, taigi putø su-darymo galimybës yra kur kas didesnës, palyginti su sausaisiais pieno milteliais, todël svarbu nustatyti ðiø savybiø pokyèius kintant sausøjø medþiagø kiekiui tirpale.

Pirmoje tyrimø serijoje buvo nustatytas putø ið-siplakimo laipsnis (%) ir jø stabilumo kitimas lai-kant. Sausøjø medþiagø kiekis tirpale buvo keièia-mas nuo 5 iki 30%. Iðsiplakimo priklausomybë kin-tant sausøjø medþiagø kiekiui tirpale parodyta 1 pa-veiksle.

Gauti tyrimø rezultatai rodo, kad putø iðsiplakimas sausøjø iðrûgo tirpaluose didëja kintant sausøjø medþiagø kiekiui. Padidinus sausøjø me-dþiagø kieká nuo 5 iki 30% putø susidarymas pa-didëja 6–7 kartus. Nustatyta, kad putos iðrûgo mil-teliuose be nitratø susidaro geriau negu su nitra-tais. Ðis skirtumas priklauso nuo sausøjø medþiagø kiekio tirpale, didëjant sausøjø medþiagø kiekiui skirtumai tarp iðsiplakimo laipsnio tirpaluose su nitra-tais ir be jø, esant tam paëiam sausøjø medþia-gø kiekiui, didëja.

Statistinës analizës metodais gautos rezultatus ga-lima apraðtyti lygtimi. Kai iðrûgos be nitratø, jø ið-siplakimo laipsnis (q) priklausomai nuo sausøjø me-



1 pav. Putø iðsiplakimo laipsnio priklausomybë nuo sausøjø medþiagø kiekio. 1 – iðrûgo milteliai be nitratø, 2 – iðrûgo milteliai su nitratais

dþiagø kiekio tirpale (x) kinta pagal ðià priklausomybæ:

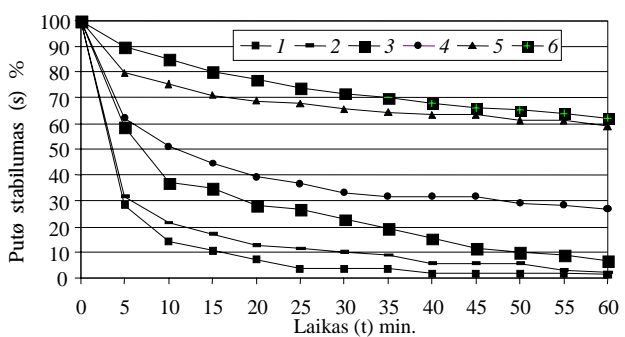
$$q_1 = 3,29x + 2,4; R^2 = 0,982.$$

Kai naudojamos iðrûgos su nitratais, ði priklausomybë (q nuo x) išreiðkiama taip:

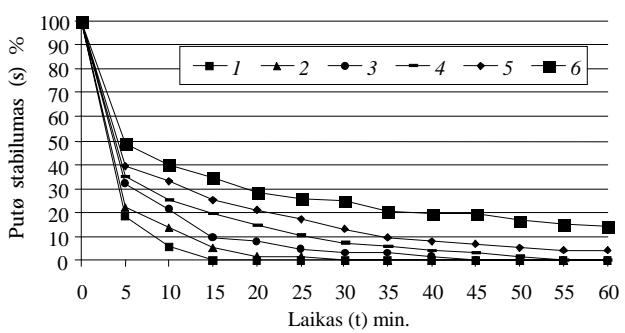
$$q_2 = 1,99x - 1,47; R^2 = 0,984.$$

Mûsø gauti rezultatai nepriëðtarauja literatûroje pateiktiems tyrimø rezultatams, kuriuose yra teigia-ma, kad Ca ir NaCl [8, 20] sumapina putø susida-rymà. Matyt, NaNO₃ ir KNO₃ daro tå patá poveiká putø susidarymo procesui. Jie padidina tirpalø joni-næ jégâ, o tai, galbût, turi átakà pieno balytmams bei neigiamai veikia putø formavimosi procesus.

Putø stabilumo kitimas per 60 min., esant skirtingiemis sausøjø medþiagø (s.m.) kiekiams, parodytas 2 pav. (sausosios iðrûgos be nitratø) ir 3 pav. (sausosios iðrûgos su nitratais).



2 pav. Putø stabilumo kitimo priklausomybë laikymo metu nuo 0 iki 60 min. (iðrûgo milteliai be nitratø): 1 – 5% s. m.; 2 – 10% s. m.; 3 – 15% s. m.; 4 – 20% s. m.; 5 – 25% s. m.; 6 – 30% s. m.



3 pav. Putø stabilumo kitimo priklausomybë laikymo metu nuo 0 iki 60 min. (iðrûgo milteliai su nitratais): 1 – 5% s. m.; 2 – 10% s. m.; 3 – 15% s. m.; 4 – 20% s. m.; 5 – 25% s. m.; 6 – 30% s. m.

Matyti (2 ir 3 pav.), kad kuo daugiau sausøjø medþiagø iðrûgose, tuo putos yra stabilesnës (2 len-telë).

2 lentelė. Putø stabilumo sumaþejimas ($\Delta \%$) po 60 minuèiø priklausomai nuo s.m. kiekio

Iðrûgos	Sausojø medþiagø kiekis %					
	5	10	15	20	25	30
Be nitratø	98	97	94	73	40	38
Su nitratais	100	100	100	100	96	86

Aproksimavæ gautus tyrimo rezultatus, pateiktus 2 pav., gavome ðias putø stabilumo kitimo priklausomybes:

$$\begin{aligned} \text{kai s. m. kiekis } 5\%, s &= -0,0021t^3 + 0,2354t^2 - 8,0184t + 83,12; R^2 = 0,8779; \\ \text{kai s. m. kiekis } 10\%, s &= -0,0019t^3 + 0,2131t^2 - 7,3066t + 83,616; R^2 = 0,8763; \\ \text{kai s. m. kiekis } 15\%, s &= -0,0013t^3 + 0,1498t^2 - 5,7438t + 91,1; R^2 = 0,9525; \\ \text{kai s. m. kiekis } 20\%, s &= -0,0012t^3 + 0,1315t^2 - 5,054t + 92,987; R^2 = 0,9621; \\ \text{kai s. m. kiekis } 25\%, s &= -0,0006t^3 + 0,0671t^2 - 2,5294t + 95,949; R^2 = 0,9564; \\ \text{kai s. m. kiekis } 30\%, s &= -0,0002t^3 + 0,0324t^2 - 1,6662t + 98,926; R^2 = 0,9966. \end{aligned}$$

Iðdiferencijavæ ðias lygtis pagal laikà gauname putø stabilumo maþejimo greièius:

$$\begin{aligned} v_1 &= \frac{ds}{dt} = -0,0063t^2 + 0,471t - 8,02; \\ v_2 &= \frac{ds}{dt} = -0,0057t^2 + 0,426t - 7,31; \\ v_3 &= \frac{ds}{dt} = -0,0039t^2 + 0,299t - 5,78; \\ v_4 &= \frac{ds}{dt} = -0,0036t^2 + 0,263t - 5,05; \\ v_5 &= \frac{ds}{dt} = -0,0018t^2 + 0,124t - 2,53; \\ v_6 &= \frac{ds}{dt} = -0,0006t^2 + 0,065t - 1,67. \end{aligned}$$

Putø stabilumo maþejimo greitis yra iðreiðkiamas paraboline priklausomybe.

Putø stabilumo sumaþejimo rezultatø, pateiktø 3 pav., aproksimavimas ágalino nustatyti šias kitimo priklausomybes:

$$\begin{aligned} \text{kai s. m. kiekis } 5\%, s^* &= -0,0025t^3 + 0,272t^2 - 8,8387t + 80,164; R^2 = 0,839; \\ \text{kai s. m. kiekis } 10\%, s^* &= -0,0022t^3 + 0,2493t^2 - 8,3845t + 81,828; R^2 = 0,8657; \\ \text{kai s. m. kiekis } 15\%, s^* &= -0,002t^3 + 0,2241t^2 - 7,8494t + 85,047; R^2 = 0,9071; \end{aligned}$$

$$\begin{aligned} \text{kai s. m. kiekis } 20\%, s^* &= -0,0017t^3 + 0,1956t^2 - 7,0429t + 85,035; R^2 = 0,9053; \\ \text{kai s. m. kiekis } 25\%, s^* &= -0,0014t^3 + 0,1673t^2 - 6,2839t + 85,857; R^2 = 0,9094; \\ \text{kai s. m. kiekis } 30\%, s^* &= -0,0014t^3 + 0,159t^2 - 5,8046t + 88,672; R^2 = 0,925. \end{aligned}$$

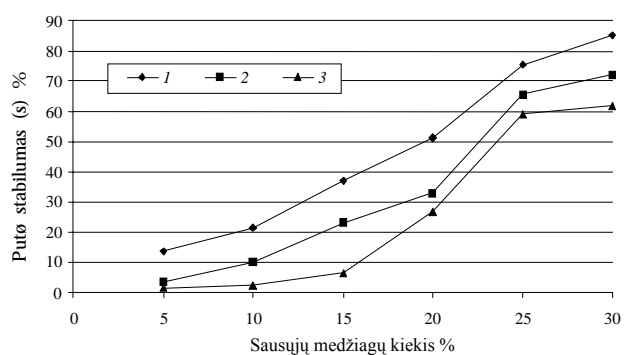
Pagal ðias lygtis atlikus diferenciavimà pagal laikà (t) putø stabilumo maþejimo greitis (v_n^*) iðreiskiamas tokiomis lygtimis:

$$\begin{aligned} v_1^* &= \frac{ds^*}{dt} = -0,0075t^2 + 0,544t - 8,84; \\ v_2^* &= \frac{ds^*}{dt} = -0,0066t^2 + 0,498t - 8,38; \\ v_3^* &= \frac{ds^*}{dt} = -0,006t^2 + 0,449t - 7,85; \\ v_4^* &= \frac{ds^*}{dt} = -0,0051t^2 + 0,39t - 7,04; \\ v_5^* &= \frac{ds^*}{dt} = -0,0042t^2 + 0,335t - 6,28; \\ v_6^* &= \frac{ds^*}{dt} = -0,0042t^2 + 0,318t - 5,8. \end{aligned}$$

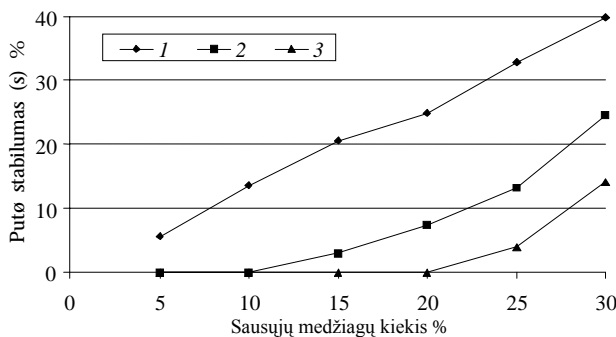
Putø stabilumo proceso greièius diferencijuodami pagal laikà ir, po to, iðvestines prilyginæ 0, galime gauti laiko momentus, kuriems esant greièio kitimas yra ekstreminis (didþiausias arba maþiausias). Kadangi greièio (v_n ir v_n^*) antrosios iðvestinës yra neigiamos, gauti ekstremumai bûtø maksimalùs.

4 ir 5 pav. parodyta putø stabilumo kitimo analizë esant skirtingiem sausojø medþiagø kiekiamams po 10, 30 ir 60 minuèiø.

Ið 4 pav. pateiktø rezultatø matyti, kada putos visiðkai suýra. Po 60 min. iðlaikymo putø stabilumas iðplaktuose tirpaluose, kuriuose sausojø medþiagø kiekis buvo 5 ir 10%, suiro kur kas greièiau.



4 pav. Iðplaktø tirpalø su skirtingais sausojø medþiagø kiekiais (%) putø stabilumas po 10, 30 ir 60 min. iðrûgos be nitratø: 1 – 10 min., 2 – 30 min., 3 – 60 min.

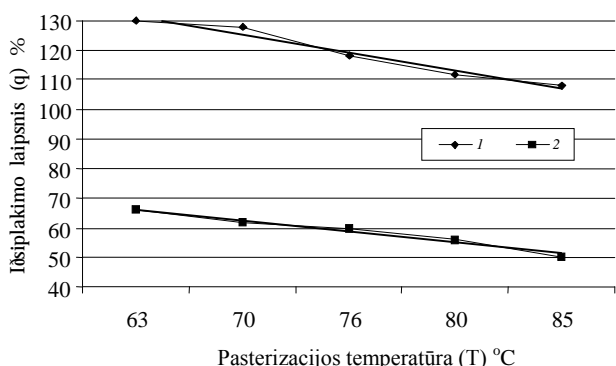


5 pav. Iðplakto tirpalø su skirtingais sausøjø medžiagø kiekiais (%) putø stabilumas po 10, 30 ir 60 min. iðrûgos su nitratais. 1 – 10 min., 2 – 30 min., 3 – 60 min.

5 pav. po 60 min. iðlaikymo putos suvra ne tik kai sausøjø medžiagø kiekis yra 5 ir 10%, bet ir daugiau kaip 15 ir 20%. Díuo atveju, kai sausøjø medžiagø kiekis yra 5 ir 10%, putos suvra po 30 min.

Kitas tyrimø etapas buvo skirtas nustatyti, ar iðrûgo milteliø padaryto tirpalø pasterizacijos temperatûra turi áakos putø susidarymui ir jó stabilumui. Tam tikslui pasiekti ið iðrûgo milteliø (su NO_3^- ir be NO_3^-) buvo pagaminti 25% sausøjø medžiagø tirpalai, kurie buvo pasterizuoti esant tokioms temperatûroms: 63°C, 70°C, 76°C, 80°C ir 85°C (iðlaikymo trukmë 20–25 s). Putø iðsplakimas parodytas 6 pav.

Ið gautø tyrimø rezultatø matyti, kad didéjant pasterizacijos temperatûrai putø iðsplakimo intensyvumas maþeja. Didéjant terminio apdorojimo temperatûrai nuo 63 iki 85°C putø iðsplakimas sumaþeja 18–22%. Be to, nustatyta, kad iðsplakimo laipsnio sumaþejimas priklauso nuo sausøjø iðrûgo sudëties arba jó gamybos ypatumø. Tirpalø, pagaminto ið sausøjø iðrûgo be nitrato, iðsplakimo laipsnis nepriklausomai nuo pasterizacijos temperatûros buvo apie 1,5 karto didesnis negu tirpalø, pagaminto ið sausøjø iðrûgo, kuriø sudëtyje buvo nitrato.



6 pav. Putø iðsplakimo laipsnio priklausomybë nuo pasterizacijos temperatûros. 1 – iðrûgo milteliai be nitrato, 2 – iðrûgo milteliai su nitratais

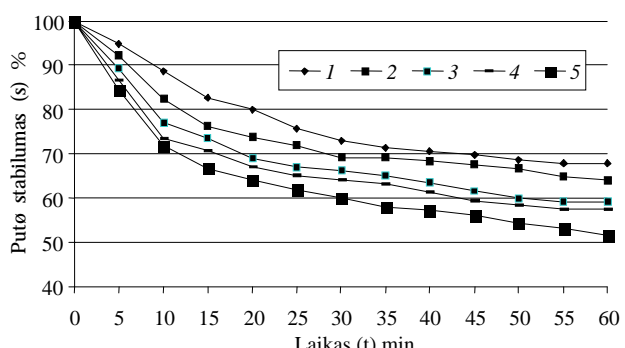
Po statistiniø gautø rezultatø apdorojimo gavome, kad abiejuose tirpaluose iðsplakimo laipsnio sumaþejimas (q) didéjant pasterizacijos temperatûrai nuo 63 iki 85°C (T) vyksta pagal šias tiesines priklausomybes:

$$\text{kai iðrûgos be nitrato, } q_1 = -6T + 137,2; R^2 = 0,966;$$

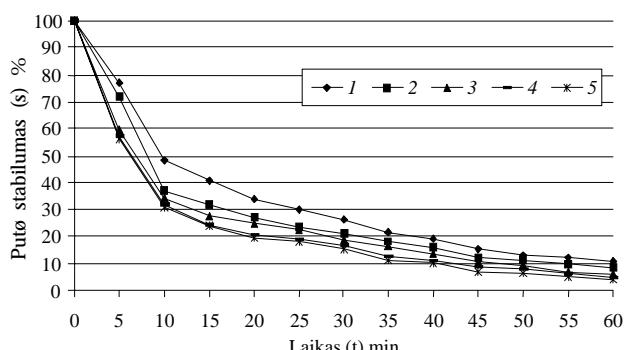
$$\text{kai iðrûgos su nitratais, } q_2 = -3,8T + 70,2; R^2 = 0,984.$$

Iðsplakimo laipsnio sumaþejimas didéjant terminio apdorojimo temperatûrai galbùt susijæs su iðrûgo balytmø aggregacija ir todël aktyviø grupiø, dalyvaujanèiø putø formavimo procese, sumaþejimu. Taèiau ðiam teiginiu pagræstai uþtikrinti bûtini iðsamesni tyrimai.

Analogiðkai, kaip ir pirmojoje bandymø serijoje, nustatëme putø stabilumo kitimà per 60 min. Dviejø skirtingos sudëties ir gamybos sausøjø iðrûgo tirpale (25% s. m.) susidariusiø putø stabilumo kitimas parodytas 7 ir 8 pav.



7 pav. Putø su 25% s. m. stabilumo kitimo priklausomybë nuo laiko esant skirtingoms tirpalø pasterizacijos temperatûroms (iðrûgo milteliai be nitrato): 1 – 63°C past. temp.; 2 – 70°C past. temp.; 3 – 76°C past. temp.; 4 – 80°C past. temp.; 5 – 85°C past. temp.



8 pav. Putø su 25% s. m. stabilumo kitimo priklausomybë nuo laiko esant skirtingoms tirpalø pasterizacijos temperatûroms (iðrûgo milteliai su nitratais): 1 – 63°C past. temp.; 2 – 70°C past. temp.; 3 – 76°C past. temp.; 4 – 80°C past. temp.; 5 – 85°C past. temp.

Ið pateikto putø stabilumo kitimo proceso matyti, kad per 60 min. putø stabilumas maþejà. Taèiau mëginiø, gautø panaudojant sausàsias iðrûgas be nitratø, putos daug stablesnës negu panaudojant sausàsias iðrûgas su nitratais (3 lentelë).

3 lentelë. Putø stabilumo sumaþejimas ($\Delta \%$) po 60 minuëiø priklausomai nuo tirpalio terminio apdorojimo temperatûros					
Iðrûgos	Terminio apdorojimo temperatûra °C				
	63	70	76	80	85
Be nitratø	32	36	41	43	49
Su nitratais	89	91	94	95	96

Ið pateiktø tyrimo rezultatø (7, 8 pav.) matyti, kad stabilumo maþejimas iðlaikant putas 60 min vyks ta priklausomai nuo pasterizacijos temperatûros. Tuose bandiniuose, kurie buvo pasterizuoti esant þemesnei temperatûrai ir juose pasiekta didesnis iðsiplakimo laipsnis, putø stabilumas laikymo metu taip pat buvo didesnis. Ði tendencija buvo analogiðka tiek su iðrûgomis be nitratø, tiek su nitratais.

Iðsamesnei procesø analizei gauti atlikome statistiná rezultatø apdorojimà. Po statistinio apdorojimo aproksimavæ 7 pav. gautas kreives gauname ðias putø stabilumo kitimo priklausomybes:

$$\begin{aligned} \text{kai past. temp. } 63^{\circ}\text{C, } s &= -0,0001t^3 + 0,0215t^2 - \\ &- 1,425t + 100,68; R^2 = 0,9976; \\ \text{kai past. temp. } 70^{\circ}\text{C, } s &= -0,0004t^3 + 0,0521t^2 - \\ &- 2,2102t + 100,46; R^2 = 0,9953; \\ \text{kai past. temp. } 76^{\circ}\text{C, } s &= -0,0005t^3 + 0,0588t^2 - \\ &- 2,4778t + 99,262; R^2 = 0,9885; \\ \text{kai past. temp. } 80^{\circ}\text{C, } s &= -0,0006t^3 + 0,0664t^2 - \\ &- 2,6942t + 98,409; R^2 = 0,981; \\ \text{kai past. temp. } 85^{\circ}\text{C, } s &= -0,0007t^3 + 0,076t^2 - \\ &- 3,015t + 98,153; R^2 = 0,9884. \end{aligned}$$

Po lygëiø diferenciacijos galime paraðyti putø stabilumo kitimo greièio (v_n) priklausomybæ:

$$\begin{aligned} v_1 &= -0,0003t^2 + 0,043t - 1,45; \\ v_2 &= -0,0012t^2 + 0,1042t - 2,21; \\ v_3 &= -0,0015t^2 + 0,1176t - 2,48; \\ v_4 &= -0,0018t^2 + 0,1328 - 2,69; \\ v_5 &= -0,0021t^2 + 0,152t - 3,01. \end{aligned}$$

Pritaikæ putø kitimo greièio (v_n) ekstremumo sàlygà gauname:

$$\frac{dv_1}{dt} = -0,0006t + 0,043 = 0;$$

$$\frac{dv_2}{dt} = -0,0024t + 0,104 = 0;$$

$$\frac{dv_3}{dt} = -0,003t + 0,118 = 0;$$

$$\frac{dv_4}{dt} = -0,0036t + 0,133 = 0;$$

$$\frac{dv_5}{dt} = -0,0042t + 0,152 = 0.$$

Iðsprendæ ðias lygtis gauname laiko momentus (τ_n), kada putø suirimo greitis yra didþiausias:

$$\tau_1 = 1 \text{ val. 11 min. 40 s};$$

$$\tau_2 = 43 \text{ min. 20 s};$$

$$\tau_3 = 39 \text{ min. 20 s};$$

$$\tau_4 = 36 \text{ min. 56 s};$$

$$\tau_5 = 36 \text{ min. 11 s}.$$

Matyti, kad pasterizacijos temperatûra turi áatkos putø suirimo greièiui. Pasterizuotuose 63°C temperatûroje bandiniuose putø suirimo didþiausias greitis yra po 2 kartus ilgesnio laiko, palyginti su bandiniais, pasterizuotais esant 85°C temperatûrai.

Analogiðkai galima ávertinti ir gautus rezultatus, kurie parodyti 8 pav. Atliek kreiviø aproksimavimà gavome tokias statistines regresijos lygtis:

$$\begin{aligned} \text{kai past. temp. } 63^{\circ}\text{C, } s^* &= -0,0001t^3 + 0,1244t^2 - \\ &- 5,3348t + 98,107; R^2 = 0,9851; \\ \text{kai past. temp. } 70^{\circ}\text{C, } s^* &= -0,0014t^3 + 0,1624t^2 - \\ &- 6,2877t + 96,604; R^2 = 0,9709; \\ \text{kai past. temp. } 76^{\circ}\text{C, } s^* &= -0,0015t^3 + 0,1718t^2 - \\ &- 6,3992t + 92,434; R^2 = 0,961; \\ \text{kai past. temp. } 80^{\circ}\text{C, } s^* &= -0,0016t^3 + 0,1834t^2 - \\ &- 6,758t + 92,17; R^2 = 0,9612; \\ \text{kai past. temp. } 85^{\circ}\text{C, } s^* &= -0,0016t^3 + 0,1827t^2 - \\ &- 6,7816t + 91,828; R^2 = 0,9597. \end{aligned}$$

Šiuo atveju greièio (v_n^*) kitimo priklausomybë yra:

$$\begin{aligned} v_1^* &= -0,0003t^2 + 0,2488t - 5,33; \\ v_2^* &= -0,0042t^2 + 0,3248t - 6,29; \\ v_3^* &= -0,0045t^2 + 0,3436t - 6,39; \\ v_4^* &= -0,0048t^2 + 0,3668t - 6,76; \\ v_5^* &= -0,0048t^2 + 0,3654t - 6,78. \end{aligned}$$

Iðdiferenciacijos ðias lygtis ir pritaikæ ekstremumo sàlygà suradome laiko (τ_n^*) momentà, kada putø suirimo greitis yra didþiausias:

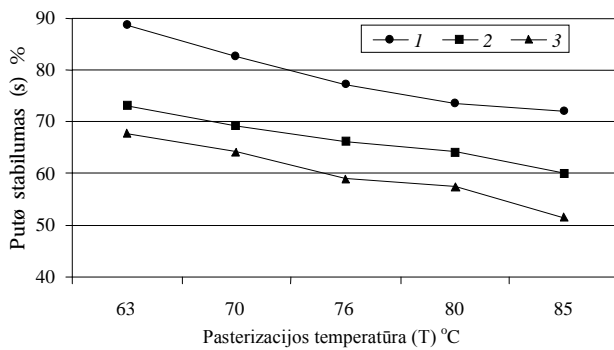
$$\tau_1^* = 41 \text{ min. 30 s};$$

$$\tau_2^* = 38 \text{ min. 41 s};$$

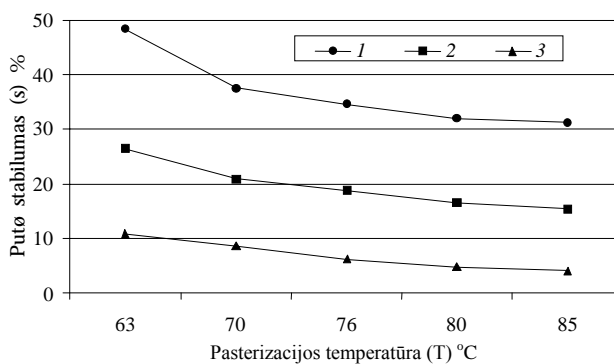
$$\tau_3^* = 38 \text{ min. 13 s};$$

$$\tau_4^* = 38 \text{ min. 12 s};$$

$$\tau_5^* = 38 \text{ min. 4 s}.$$



9 pav. Putø stabilumo priklausomybë nuo pasterizacijos temperatûros (iðrûgos be nitratø). 1 – 10 min., 2 – 30 min., 3 – 60 min.



10 pav. Putø stabilumo priklausomybë nuo pasterizacijos temperatûros (iðrûgos su nitratais). 1 – 10 min., 2 – 30 min., 3 – 60 min.

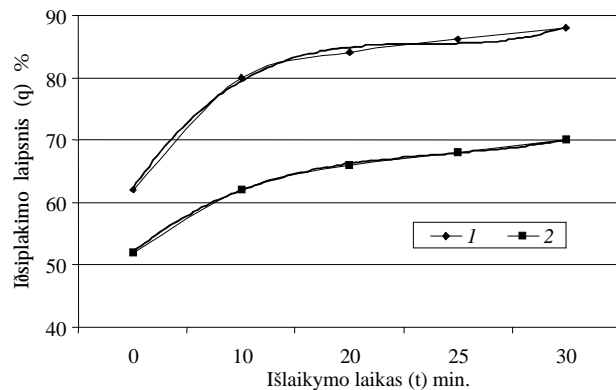
9 ir 10 pav. pavaizduota putø stabilumo kitimo analizë esant skirtingoms pasterizacijos temperatûroms po 10, 30 ir 60 minuëiø.

Pateikta rezultatø analizë rodo, kad putø stabilumas po 10, 20, 30 min., priklausomai nuo pasterizacijos temperatûros, kinta beveik pagal tiesinæ priklausomybæ.

Kaip matyti, pasterizacijos temperatûros didinimas neigiamai veikia putø iðsplakimo laipsná, jø stabilumà. Taigi bûtø efektyviausiai naudoti þemiusià pasterizacijos temperatûrą, t. y. 63°C. Taèiau ði temperatûra negali visiðkai uþtikrinti mikrobiologinës kokybës, todël, paprastai, pasterizuojant 63°C temperatûroje, yra naudojamas 30 min. iðlaikymas.

Kitas darbo etapas ir buvo susietas su putø iðsplakimu ir jø stabilumu pasterizuojant bandinius 63°C temperatûroje ir keièiant iðlaikymo trukmë.

Yra þinoma, kad esant 63°C temperatûrai vyksta iðrûgo balytmø denatûracija. Ði bandymø serija ir buvo skirta ávertinti iðrûgo balytmø denatûracijos átakà putø susidarymui ir jø stabilumui. Ðioje bandymø serijoje ið iðrûgo milteliø buvo pagaminti 20% sausøjø medþiagø tirpalai, kurie buvo pasteri-



11 pav. Putø iðsplakimo laipsnio priklausomybë nuo iðlaikymo laiko. 1 – iðrûgo milteliai be nitratø, 2 – iðrûgo milteliai su nitratais

zuojami esant 63°C temperatûrai ir iðlaikomi esant tai temperatûrai toká laikà: 0, 10, 20, 25 ir 30 min.

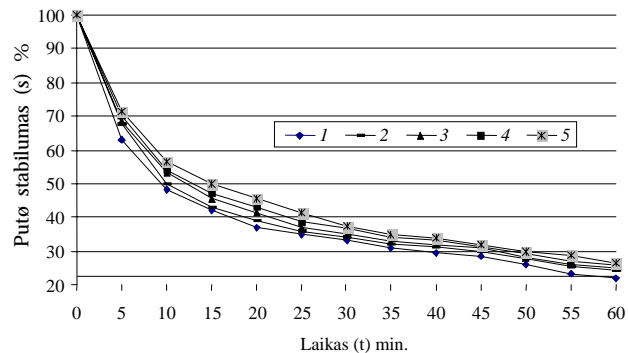
Putø iðsplakimas parodytas 11 pav.

Gauti rezultatai labai akivaizdþiai leido ávertinti, kad ilgesnis iðlaikymo laikas esant 63°C temperatûrai padidino putø iðsplakimo laipsná. Taigi balytmø denatûracijos proceso metu susidaro galimybë putø formavimosi procese dalyvauti didesniams kiekiui – SH grupiø. Be to, pastebëta, kad per pirmàsias 10 min. denatûracijos procesas vyksta intensyviau, nes iðsplakimo laipsnis bandiniuose su iðrûgomis be nitratø padidëja 18%, o vëliau per kitas 10 min. padidëja tik 4,0%. Tuo tarpu per 30 min. padidëja 26%. Panaðiai gavosi ir tuose bandiniuose, kurie buvo pagaminti ið iðrûgo su nitratais. Iðsplakimo laipsnio priklausomybës kito pagal ðias lygtis:

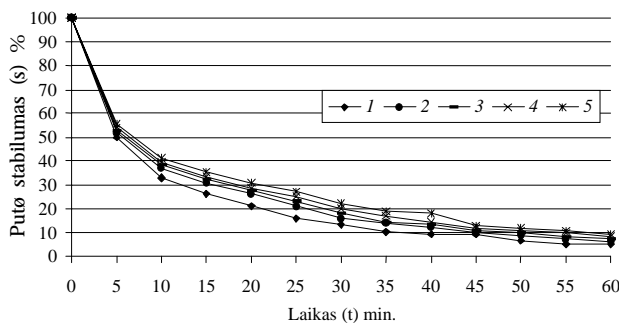
$$\text{kai iðrûgos be nitratø, } q_1 = 1,1667t^3 - 12,929t^2 + 47,905t + 26; R^2 = 0,9968;$$

$$\text{kai iðrûgos su nitratais, } q_1 = 0,5t^3 - 5,7857t^2 + 23,714t + 33,6; R^2 = 0,9997.$$

12 ir 13 pav. pavaizduotas putø stabilumo kitimas per 60 min.



12 pav. Putø stabilumo kitimo priklausomybë nuo laiko (iðrûgo milteliai be nitratø) esant skirtingam iðlaikymui 63°C temperatûroje. 1 – 0 min., 2 – 10 min., 3 – 20 min., 4 – 30 min., 5 – 30 min.



13 pav. Putø stabilumo kitimo priklausomybë nuo laiko (iðrûgo milteliai su nitratais) esant skirtingam iðlaikymui 63°C temperatûroje: 1 – 0 min., 2 – 10 min., 3 – 20 min., 4 – 25 min., 5 – 30 min.

Stabilumas per ðá laikà maþejà labai tolygiai, ta-éiau per visà procesà iðlieka aiðki stabilumo priklausomybë nuo iðsiplakimo laipsnio, kuo didesnis iðsiplakimo laipsnis, tuo stabilesnës putos viso tarto proceso metu.

Putø stabilumo sumaþejimas visuose bandiniuose po 60 min. pateikiamas 4 lentelëje.

4 lentelë. Putø stabilumo sumaþejimas (Δ %) po 60 minuèio priklausomai nuo iðlaikymo laiko					
Iðrûgos	Iðlaikymo laikas min. %				
	0	10	20	25	30
Be nitratø	78	76	75	74	73
Su nitratais	95	94	93	92	90

Po statistinio apdorojimo aproksimavæ 12 pav. gautas kreives gauname tokias putø stabilumo kitimo priklausomybes:

$$\begin{aligned} \text{kai iðlaikymo laikas 0 min., } s &= -0,0013t^3 + \\ &+ 0,1434t^2 - 5,2652t + 93,115; R^2 = 0,9641; \\ \text{kai iðlaikymo laikas 10 min., } s &= -0,0012t^3 + \\ &+ 0,1391t^2 - 5,1939t + 94,76; R^2 = 0,9755; \\ \text{kai iðlaikymo laikas 20 min., } s &= -0,0011t^3 + \\ &+ 0,1285t^2 - 4,9357t + 95,046; R^2 = 0,9803; \\ \text{kai iðlaikymo laikas 25 min., } s &= -0,0011t^3 + \\ &+ 0,1225t^2 - 4,7581t + 95,159; R^2 = 0,9798; \\ \text{kai iðlaikymo laikas 30 min., } s &= -0,0009t^3 + \\ &+ 0,1103t^2 - 4,4522t + 95,368; R^2 = 0,982. \end{aligned}$$

Iðdiferencijavus, galima paraðyti putø stabilumo maþejimo greièio (v_n) priklausomybæ:

$$\begin{aligned} v_1 &= -0,0039t^2 + 0,2868t - 5,26; \\ v_2 &= -0,0036t^2 + 0,2782t - 5,19; \\ v_3 &= -0,0033t^2 + 0,257t - 4,93; \\ v_4 &= -0,0033t^2 + 0,245t - 4,76; \\ v_5 &= -0,0027t^2 + 0,2206t - 4,45. \end{aligned}$$

Apdorojæ ðias lygtis ir pritaikæ funkcijos ekstreimumo sàlygà surandame laiko momentà (τ_n), kada putø suirimo greitis yra maksimalus:

$$\tau_1 = 36 \text{ min. } 47 \text{ s};$$

$$\tau_2 = 38 \text{ min. } 37 \text{ s};$$

$$\tau_3 = 38 \text{ min. } 56 \text{ s};$$

$$\tau_4 = 37 \text{ min. } 7 \text{ s};$$

$$\tau_5 = 40 \text{ min. } 56 \text{ s}.$$

Analogiðkai galima ávertinti ir gautus rezultatus, kurie parodyti 13 pav. Atlikæ kreivio aproksimavimà gavome tokias statistines kitimo lygtis:

$$\begin{aligned} \text{kai iðlaikymo laikas 0 min., } s^* &= -0,0015t^3 + \\ &+ 0,1747t^2 - 6,5754t + 90,014; R^2 = 0,9537; \\ \text{kai iðlaikymo laikas 10 min., } s^* &= -0,0013t^3 + \\ &+ 0,1554t^2 - 6,0208t + 89,994; R^2 = 0,9527; \\ \text{kai iðlaikymo laikas 20 min., } s^* &= -0,0013t^3 + \\ &+ 0,1486t^2 - 5,8236t + 90,098; R^2 = 0,9527; \\ \text{kai iðlaikymo laikas 25 min., } s^* &= -0,0012t^3 + \\ &+ 0,146t^2 - 5,7071t + 90,131; R^2 = 0,9509; \\ \text{kai iðlaikymo laikas 30 min., } s^* &= -0,0012t^3 + \\ &+ 0,1408t^2 - 5,5171t + 90,404; R^2 = 0,9597. \end{aligned}$$

Šiuo atveju greièio kitimo priklausomybës yra ðios:

$$\begin{aligned} v_1^* &= -0,0045t^2 + 0,3494t - 6,57; \\ v_2^* &= -0,0039t^2 + 0,3108t - 6,02; \\ v_3^* &= -0,0039t^2 + 0,2972t - 5,82; \\ v_4^* &= -0,0036t^2 + 0,292t - 5,70; \\ v_5^* &= -0,0036t^2 + 0,2816t - 5,52. \end{aligned}$$

Iðdiferencijavæ ðias lygtis ir pritaikæ funkcijos eks tremumo sàlygà galime surasti laiko momentà (τ_n), kada putø suirimo greitis yra maksimalus:

$$\tau_1^* = 38 \text{ min. } 46 \text{ s};$$

$$\tau_2^* = 39 \text{ min. } 52 \text{ s};$$

$$\tau_3^* = 38 \text{ min. } 5 \text{ s};$$

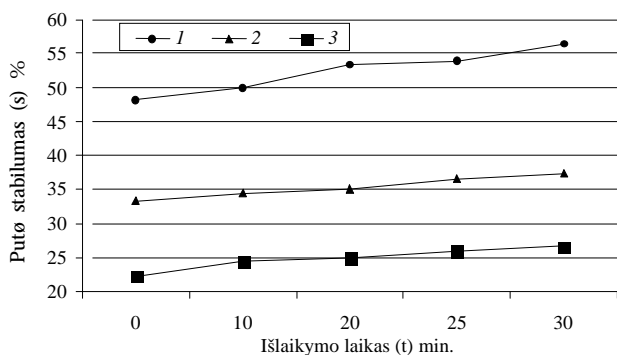
$$\tau_4^* = 40 \text{ min. } 33 \text{ s};$$

$$\tau_5^* = 39 \text{ min. } 10 \text{ s}.$$

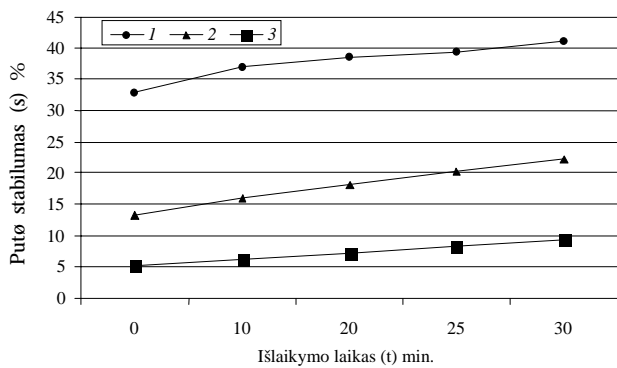
Regresijos lygtys bei jo apdorojimas parodë, kad putø stabilumo kitimo priklausomybë nuo iðlaikymo trukmës per 60 min. tarp atskirø bandiniø yra nedidelë. Didesnæ áatakà iðlaikymo trukmë turi iðsiplakimo laipsniu.

14 ir 15 pav. parodyta putø stabilumo kitimo analizë esant skirtingam iðlaikymo laikui po 0, 10, 20, 25 ir 30 minuèio.

Matyti (14 ir 15 pav.), kad putø stabilumas, bandinius pasterizuojant 63°C temperatûroje ir ilginant iðlaikymo laikà, didëja. Ðis procesas didinant laikà nuo 0 iki 30 min. vyksta pagal tiesinæ priklausomybæ. Ði tendencija nepakinta nustatant putø stabilumà po 10, 30 ir 60 minuèio.



14 pav. Putø stabilumo priklausomybë nuo iðlaikymo laiko esant pasterizavimo temperatûrai 63°C (iðrûgos be nitrato): 1 – 10 min., 2 – 30 min., 3 – 60 min.



15 pav. Putø stabilumo priklausomybë nuo iðlaikymo laiko esant pasterizavimo temperatûrai 63°C (iðrûgos su nitratais): 1 – 10 min., 2 – 30 min., 3 – 60 min.

ÍŠVADOS

1. Nustatyta, kad sausøjø medþiagø kiekis turi didelæ átakà iðrûgo milteliø tirpalø putø iðsiplakimo laipsniui ir jø stabilumui. Padidëjus sausøjø medþiagø kiekiui tirpale nuo 5 iki 30%, putø iðsiplakimo laipnis padidëja 6–7 kartus. Kuo daugiau sausøjø medþiagø tirpale, tuo putos stabilesnës.

2. Gauta, kad bandiniø pasterizacijos temperatûros padidinimas turi neigiamà átakà putø iðsiplakimo laipsniui bei jø stabilumui. Matyt dël temperatûros átakos susiformavæ baltyminiai agregatai sumâjina galimybæ aktyvioms balytmø grupëms dalyvauti putø formavimosi procese.

3. Ištirta, kad pasterizuojant bandinius 63°C temperatûroje ir didinant iðlaikymo trukmæ iki 30 min., esant tai paèiai temperatûrai, putø iðsiplakimo laipnis padidëja iki 18%. Taèiau putø stabilumo kitimui iðlaikymo trukmë þymesnës átakos neturéjo.

4. Nustatyta, kad sausøjø iðrûgo milteliø sudëtis (gamybos bûdo ypatumai) turi átakos tiek putø iðsiplakimo laipsniui, tiek jø stabilumo kitimui. Iðrûgo milteliai, kurie pagaminti ið iðrûgo be nitrato, pasiþymëjo daug geresnëmis putø iðsiplakimo bei jø stabilumo sa-

vybëmis, palyginti su tais milteliais, kuriø gamybai naujas iðrûgos su nitratais.

Gauta
2004 04 27

Literatûra

- Althouse P. J., Dinakar P., Kilora A. Screening of proteolytic enzymes to enhance foaming of whey protein isolates // Journal of Food Science. 1995. Vol. 60. N 5. P. 1110–1112.
- Braga-Neto J. A., Silva – RSFda., Ida E. I. Functional properties modeling of food ingredients using experiments with mixtures. II Whippability and foamability // Ciencia-e-Tecnologia-de-Alimentos. 1995. N 15(1). P. 6–10.
- Chojnowski W. Effect of selected technological parameters on the structural changes, physicochemical properties and biological value of whey proteins // Acta Academiae Agriculturae ac Technicae Olstenensis, Technologia Alimentorum. 1985. N 21. Suppl. C. P. 3–40.
- DeWit J. N., Klarenbeek G. Effects of various heat treatments on structure and solubility of whey proteins // Journal of Dairy Science. 1984. N 67(11). P. 2701–2710.
- Ferreira M., Behringer R., Jost R. Instrumental method for characterizing protein foam // Journal of Food Science. 1995. N 60(1). P. 90–93.
- Hugunin A. G. Applications of UF whey protein: developing new markets // Bulletin of the International Dairy Federation. 1987. N 212. P. 135–144.
- Kaèerauskienë G. Pieno ir jo produktø cheminës analizës metodai. Kaunas, 1999. 140 p.
- Karlesknid D. Foaming properties of lipid-reduced and calcium – reduced whey protein concentrates // Journal of Food Science. 1995. Vol. 60. N 4. P. 738–741.
- Kella N. K. D., Yang S. T., Kinsella J. E. Effect of disulfide bond cleavage on structural and interfacial properties of whey proteins // Journal of Agricultural and Food Chemistry. 1989. N 37(5). P. 1203–1210.
- Kinsella J. E., Whitehead D. M. Proteins in whey: chemical, physical and functional properties // Advances in Food and Nutrition Research. 1989. N 33. P. 343–438.
- Lieske B., Konrad G. Physico-chemical and functional properties of whey protein as affected by limited papain proteolysis and selective ultrafiltration // International Dairy Journal. 1996. N 6(1). P. 13–31.
- Morr C. V. Composition, physicochemical and functional properties of reference whey protein concentrates // Journal of Food Science. 1985. N 50(5). P. 1406–1411, 1421.
- Morr C. V. Fractionation and modification of whey protein in the US // Bulletin of the International Dairy Federation. 1987. N 212. P. 145–149.
- Pearce P. J. Fractionation of whey proteins // Bulletin of the International Dairy Federation. 1987. N 212. P. 150–153.
- Phillips L. G., Schulman W., Kinsella J. E. pH and heat treatment effects on foaming of whey protein isolate // Journal of Food Science. 1990. N 55(4). P. 1116–1119.

16. Schimdt K., McNeill V. Effect of heat treatments on the functional properties of caseinate and whey protein isolate solutions // Milchwissenschaft. 1993. N 48(1). P. 3–6.
17. Urbienë S. Pieno ir jo produktø cheminës analizës metodai. Kaunas, 1999. 247 p.
18. Vani Bolnedi, Zayras J. F. Fooaming properties of selected plant and animal proteins // Journal of Food Science. 1995. Vol. 60. N 5. P. 1025–1028.
19. Visser H., Paulson M. Beta-lactoglobulin: a whey protein with unique properties // Industrial Protein. 2001. Vol. 9. N 3. P. 9–12.
20. Zhu H., Damodaran S. Proteose peptones and physical factors effect foaming properties of whey protein isolate // Journal of Food Science. 1994. N 59(3). P. 554–560.
21. Zhu H., Srinivasan D. Heat – induced conformation changes in whey protein isolate and its relation to foaming properties // Journal of Agricultural and Food Chemistry. 1994. N 42(4). P. 846–855.
22. Wit J. N. de, Klarenbeek G., Adamse M. Evaluation of functional properties of whey protein concentrates and whey protein isolates. II. Effects of processing history and composition // Netherlands Milk and Dairy Journal. 1986. N 40(1). P. 41–56.
23. Wit J. N. de, Hontelez Backx E., Adamse M. Evaluation of functional properties of whey proteins concentrates and whey protein isolates. III. Functional properties in aqueous soliution // Netherlands Milk and Dairy Journal. 1988. N 42(2). P. 155–172.
24. Артемова Е. Н. Влияние активной кислотности на пенообразующие и эмульгирующие свойства систем сапонитов и овощных соков // Изв. вузов. Пищевая технология. 2001. № 5, 6. С. 25–28.
25. Артемова Е. Н. Пенообразующие и эмульгирующие свойства модельных систем ПАВ пищевых продуктов // Хранение и переработка сельхозсырья. 2001. № 4. С. 54–57.
26. Артемова Е. Н., Василенко З. В. Теоретические аспекты пенообразующих и эмульгирующих свойств растительных добавок // Вестник АН Республики. Беларусь, 1998. № 1.
27. Просеков А. Ю., Подлежаева Т. В., Новиков Р. С. Пенообразующая способность восстановленного цельного йогурта. Известия вузов. Пищевая технология. 2001. Т. 5, 6. С. 39–40.
28. Урбене С., Придоткене А. Исследование пенообразующей способности сухого концентрата сывороточных белков // Sàjunginio sviesto ir sūriø pramonës mokslinio tyrimo instituto Lietuvos filialo ir Kauno technologijos universiteto darbai. Pienininkystë. 1991. Т. 24. Р. 127–131.
29. Урбене С., Лескаускайте Д. Функциональные свойства смеси КСБ–УФ и обезжиренного молока. Lietuvos maisto instituto ir Kauno technologijos universiteto darbai. Pienininkystë. Vilnius, 1992. Т. 26. Р. 118–122.
30. Урбене С., Придоткене А. Определение способности пенообразования и стабильности пены растворов сывороточных белков. Вильнюс, 1988.12.19.

Sigita Urbienë, Dovilë Levickienë

INFLUENCE OF TECHNOLOGICAL FACTORS ON THE FORMATION OF FOAM OF DRY WHEY SOLUTIONS AND FOAM STABILITY

S u m m a r y

Foaming and foam stability are very important functional properties, especially when we want to evalute the use of whey powder as an additive for food production. The dependence of the quantity of dry substances in the solution on the foaming degree of whey powder solution and foam stability was investigated.

The growing quantity of dry substances in the solution (as well as proteins) was found to increase the foaming degree and foam stability. When the quantity of dry substances in the solution increased from 5% to 30%, the whipping degree increased up to 6 or 7 times.

The pasteurization temperature of the solution works against foaming and foam stability. The minimal temperature of pasteurization (63°C) when the time increases up to 30 minutes is the best for foaming. The same dependence was also obtained by analyzing foam stability.

The results are described by using regressive equations. The dependence of speed variation of foam stability was calculated. By varying the technological factors the moments were found when the speed of foam dissociation was at its maximum.

Key words: functional properties, foaming, dry whey solution, foam stability

Сигита Урбене, Довиле Левицкене

ВЛИЯНИЕ ТЕХНОЛОГИЧЕСКИХ ФАКТОРОВ НА ПЕНООБРАЗОВАНИЕ И СТАБИЛЬНОСТЬ ПЕНЫ В РАСТВОРАХ СУХОЙ СЫВОРОТКИ

Р е з ю м е

Пенообразование и стабильность пены являются важными функциональными свойствами растворов сухой сыворотки. Пенообразующие свойства важны для оценки целенаправленного употребления сухой сыворотки в качестве добавки при производстве других пищевых продуктов. В работе изучены степень пенообразования и стабильность пены в зависимости от количества сухих веществ в растворе. Установлено, что с увеличением количества сухих веществ (а также белков) в растворе повышаются степень пенообразования и стабильность пены. С увеличением сухих веществ в растворе с 5 до 30% степень пенообразования повышается в 6–7 раз.

Также установлено, что температура пастеризации раствора отрицательно влияет на его пенообразующие свойства. Наилучшие свойства присущи растворам, пастеризованным при температуре 63°C с выдержкой 30 мин.

Результаты исследования оформлены уравнениями регрессии, установлена зависимость стабильности пены от технологических факторов. Определены моменты времени, при которых скорость разрушения пены максимальна.

Ключевые слова: функциональные свойства, пенообразование, стабильность пены, растворы сухой сыворотки